

بِسْمِ اللَّهِ الرَّحْمَنِ الرَّحِيمِ



دانشگاه الزهرا (س)

دانشکده علوم پایه

پایان نامه

جهت اخذ درجه کارشناسی ارشد

رشته شیمی، گرایش تجزیه

عنوان

مطالعات الکتروشیمیایی برهم کنش فورازولیدون با DNA در سطح الکتروود کربن
شیشه‌ای اصلاح شده با نانو ذرات کربن چند دیواره

استاد راهنما

پروفسور لیدا فتوحی

استاد مشاور

پروفسور مجید ممهد هروی

توسط

فرزانه بهمنی

مهرماه ۱۳۹۱

کلیه دستاوردهای این تحقیق متعلق به
دانشگاه الزهرا(س) است.

ن والقلم و ما یسطرون

سوگند به قلم و آنچه می نگارد.

سپاس و ستایش مر خدای را جل و جلاله که آثار قدرت او بر چهره روز روشن، تابان است و انوار
حکمت او در دل شب تار، درفشان. آفریدگاری که خویشتن را به ما شناساند و درهای علم را بر ما
گشود و عمری و فرصتی عطا فرمود تا بدان، بنده ضعیف خویش را در طریق علم و معرفت بیازماید.

حاصل این تلاش را تقدیم می‌کنم به:

استاد بزرگوارم پروفسور لیدا فتوحی

با کرامتی چون خورشید، سرزمین دل را روشنی بخشیدند و گلشن سرای علم و دانش را با راهنمایی‌های کار ساز و سازنده بارور ساختند.

پدر و مادر عزیزم

لحظات ناب باور بودن، لذت و غرور دانستن، جسارت خواستن، عظمت رسیدن و تمام تجربه‌های یکتا و زیبای زندگی‌م، مدیون حضور سبز آن‌هاست.

تقدیر و تشکر:

با سپاس از سه وجود مقدس:

آنان که عاشقانه سوختند تا گرمابخش وجود ما و روشنگر راهمان باشند

... ناتوان شدند تا ما به توانایی برسیم

... و موهایشان سپید شد تا ما روسفید شویم

استادم

پدرم

مادرم

از استاد مشاورم جناب آقای پروفیسور مجید م مهد هروی به دلیل همکاری‌هایشان قدردانی می‌کنم .

از جناب آقای دکتر جباری و جناب آقای دکتر مرادلو که توفیق داشتم از داوری و راهنمایی‌های ایشان بهره ببرم کمال تشکر و قدردانی دارم.

چکیده

در این کار برهم‌کنش فورازولیدون (Fu)، داروی ضد میکروب، با DNA دو رشته‌ای گاو در محلول و در سطح MWCNT-DNA-GCE با روش‌های ولتامتری چرخه‌ای و اسپکتروسکوپی UV-vis مورد بررسی قرار گرفت. در حضور DNA جریان پیک کاتدی فورازولیدون کاهش می‌یابد و پتانسیل به سمت مقادیر مثبت‌تر جابه‌جا می‌شود که بیانگر برهم‌کنش فورازولیدون با DNA می‌باشد. نتایج به‌دست آمده از اسپکتروسکوپی برهم‌کنش بین لایه‌ای فورازولیدون با DNA را تأیید می‌کند. در سرعت‌های روبش $20-150 \text{ mV s}^{-1}$ فرایند الکترودی جذبی مشاهده شد. ضریب انتقال الکترون (α) و ثابت سرعت انتقال الکترون (k_s) طبق معادله لاپرون محاسبه شد و مقادیر تقریباً یکسانی در حضور و غیاب DNA به‌دست آمد. ثابت اتصال و ضریب استوکیومتری با استفاده از روش هیل به ترتیب $K_a = 6/8 \times 10^4 \text{ M}^{-1}$ و $m=1/3$ محاسبه شد. از این روش الکتروشیمیایی برای اندازه‌گیری DNA استفاده شد. تحت شرایط بهینه، دو منحنی کالیبراسیون خطی در گستره‌های $0/04-0/10 \text{ } \mu\text{g mL}^{-1}$ و $0/10-1/00 \text{ } \mu\text{g mL}^{-1}$ با حد تشخیص $0/025 \text{ } \mu\text{g mL}^{-1}$ برای اندازه‌گیری DNA به‌دست آمد. این روش برای تعیین DNA در سرم خون گاو بازده 90% را نشان می‌دهد. بنابراین این روش می‌تواند برای آنالیز نمونه‌های واقعی به‌کار رود.

فهرست مطالب

صفحه	عنوان
	فصل ۱: مقدمه
۲	۱-۱ مقدمه.....
	فصل ۲: بررسی منابع
۶	۱-۲ بررسی منابع.....
	فصل ۳: تئوری
۲۰	۱-۳ الکتروود کار.....
۲۲	۱-۱-۳ الکتروود اصلاح شده.....
۲۳	۲-۱-۳ روش‌های اصلاح الکتروود.....
۲۵	۲-۳ نانولوله‌های کربنی.....
۲۷	۱-۲-۳ مزایای نانولوله‌های کربنی.....
۲۸	۳-۳ برهم‌کنش دارو- DNA.....
۳۱	۱-۳-۳ بررسی الکتروشیمیایی برهم‌کنش دارو- DNA.....
۳۴	۴-۳ بیوسنسور DNA.....
۳۴	۱-۴-۳ روش‌های تثبیت DNA.....
۳۵	۵-۳ روابط در ولتامتری.....

۳۵-۱-۵-۳ محاسبه ضریب انتقال الکترون، ثابت سرعت استاندارد و پتانسیل فرمال.....۳۵

۳۵-۲-۵-۳ نحوه‌ی محاسبه ضریب استوکیومتری (m) و ثابت اتصال DNA-Fu (K_a) ۳۵

فصل ۴: مطالعات تجربی و بررسی نتایج

۳۹-۱-۴ شرایط تجربی.....۳۹

۳۹-۱-۱-۴ مواد شیمیایی.....۳۹

۳۹-۲-۱-۴ دستگاہوری ۳۹

۴۱-۳-۱-۴ مراحل انجام کار.....۴۱

۴۳-۲-۴ بررسی برهم‌کنش فورازولیدون با DNA.....۴۳

۴۳-۱-۲-۴ مطالعات ولتامتری چرخه‌ای فورازولیدون در سطح الکترودهای اصلاح شده MWCNT-

GCE (در غیاب و حضور DNA) و MWCNT-DNA-GCE

.....۴۳

۴۶-۲-۲-۴ تأثیر pH.....۴۶

۴۹-۳-۲-۴ مطالعات اثر سرعت روبش.....۴۹

۵۲-۱-۳-۲-۴ محاسبه ثابت سرعت استاندارد واکنش و ضریب انتقال الکترون.....۵۲

۵۶-۲-۳-۲-۴ بررسی جذبی یا نفوذی بودن فرآیند.....۵۶

۶۰-۴-۲-۴ محاسبه ضریب استوکیومتری (m) و ثابت اتصال DNA-Fu (K_a) ۶۰

۶۳-۵-۲-۴ مطالعات طیف سنجی جذبی UV-vis.....۶۳

۶۵-۶-۲-۴ اندازه‌گیری کمی DNA در سطح MWCNT-GCE.....۶۵

۶۵-۱-۶-۲-۴ بررسی تأثیر حجم نانو لوله‌های کربن چند دیواره‌ای.....۶۵

۶۷.....۲-۶-۲-۴ بررسی تأثیر مقدار نانو لوله‌های کربن چند دیواره‌ای.....

۶۹.....۳-۶-۲-۴ رسم منحنی کالیبراسیون.....

۷۲.....۴-۶-۲-۴ حداقل مقدار قابل تشخیص (LOD).....

۷۳.....۵-۶-۲-۴ تکرارپذیری (RSD%).....

۷۵.....۶-۶-۲-۴ بررسی اثر مزاحمت.....

۷۷.....۷-۶-۲-۴ تعیین مقدار DNA در نمونه واقعی.....

فصل ۵: نتیجه‌گیری

۷۹.....۱-۵ نتیجه‌گیری.....

۸۴.....فهرست منابع.....

فهرست جدول‌ها

صفحه	عنوان
۵۱	جدول ۱-۴ نتایج حاصل از ولتاموگرام‌های چرخه‌ای فورازولیدون 0.5 mM در سرعت‌های روبش مختلف در سطح MWCNT-GCE.....
۵۱	جدول ۲-۴ نتایج حاصل از ولتاموگرام‌های چرخه‌ای فورازولیدون 0.5 mM در سرعت‌های روبش مختلف در سطح MWCNT-DNA-GCE.....
۵۹	جدول ۳-۴ نتایج مربوط به محاسبه پارامترهای الکتروشیمیایی فورازولیدون (Γ ، α ، k_s) در سطح الکترودهای MWCNT-GCE و MWCNT-DNA-GCE.....
۷۰	جدول ۴-۴ نتایج حاصل از ولتاموگرام‌های چرخه‌ای فورازولیدون 0.5 mM در حضور غلظت‌های مختلف DNA.....
۷۲	جدول ۵-۴ نتایج مربوط به محاسبه حداقل مقدار قابل تشخیص DNA.....
۷۴	جدول ۶-۴ نتایج حاصل از تکرار اندازه‌گیری فورازولیدون 0.5 mM در بافر برایتون-رابینسون در حضور محلول DNA در سطح MWCNT-GCE.....
۷۶	جدول ۷-۴ نتایج حاصل از بررسی گونه‌های مزاحم بر روی جریان پیک فورازولیدون در حضور DNA.....
۷۷	جدول ۸-۴ نتایج مربوط به تعیین DNA در نمونه واقعی.....
۸۱	جدول ۱-۵ ارقام شایستگی روش پیشنهادی.....
۸۳	جدول ۲-۵ مقایسه حدود تشخیص روش پیشنهادی با روش‌های دیگر برای تعیین DNA.....

فهرست شکل‌ها

صفحه	عنوان
۲.....	شکل ۱-۱ ساختار مولکولی فورازولیدون.....
۲۶.....	شکل ۱-۳ انواع مختلف نانولوله‌های کربنی.....
۳۱.....	شکل ۲-۳ انواع اتصالات دارو - DNA (a اتصال کووالانسی، (b اتصال از طریق شیار، (c جایگیری بین لایه‌ای.....
۳۳.....	شکل ۳-۳ انواع برهم‌کنش دارو - DNA (A برهم‌کنش در سطح الکتروود (a الکتروود اصلاح شده با DNA، (b الکتروود اصلاح شده با دارو (B برهم‌کنش در محلول.....
۴۰.....	شکل ۱-۴ نمای دستگاه Metrohm Model 746 VA trace Analyzer.....
۴۵.....	شکل ۲-۴ ولتاموگرام‌های چرخه‌ای فورازولیدون 0.5 mM در بافر برایتون - رابینسون 0.04 M و $7 \text{ pH} =$ (a در غیاب DNA در سطح MWCNT-GCE، (b در حضور $4 \mu\text{g mL}^{-1}$ DNA در سطح MWCNT-GCE، (c در سطح MWCNT-DNA-GCE (سرعت روبش 50 mV s^{-1}).....
۴۷.....	شکل ۳-۴ ولتاموگرام‌های چرخه‌ای فورازولیدون 0.5 mM در بافر برایتون - رابینسون 0.04 M در سطح MWCNT-DNA-GCE در pH های (a 4.5 ، (b 5.0 ، (c 6.0 ، (d 6.5 ، (e 7.0 ، (f 8.0 ، (g 9.0 ، (h 10.0 ، (i 11.0) (سرعت روبش 50 mV s^{-1}).....
۴۷.....	شکل ۴-۴ نمودار شدت جریان پیک کاتدی فورازولیدون 0.5 mM برحسب pH در سطح MWCNT-DNA-GCE.....

- شکل ۴-۵ نمودار پتانسیل پیک کاتدی فورازولیدون 0.5 mM بر حسب pH در سطح MWCNT-DNA-GC ۴۸
- شکل ۴-۶ مکانیسم کاهش فورازولیدون ۴۸
- شکل ۴-۷ ولتاموگرام‌های چرخه‌ای فورازولیدون 0.5 mM در بافر برایتون-رابینسون 0.04 M و $\text{pH} = 7$ در سطح MWCNT-GCE در سرعت‌های روبش (a) 20 ، (b) 30 ، (c) 50 ، (d) 70 ، (e) 90 ، (f) 110 ، (g) 150 mV s^{-1} ۴۹
- شکل ۴-۸ ولتاموگرام‌های چرخه‌ای فورازولیدون 0.5 mM در بافر برایتون-رابینسون 0.04 M و $\text{pH} = 7$ در سطح MWCNT-DNA-GCE در سرعت‌های روبش (a) 20 ، (b) 30 ، (c) 50 ، (d) 70 ، (e) 90 ، (f) 110 ، (g) 150 mV s^{-1} ۵۰
- شکل ۴-۹ نمودار پتانسیل بر حسب لگاریتم سرعت روبش در شرایط ذکر شده در شکل ۴-۷ ۵۳
- شکل ۴-۱۰ نمودار پتانسیل بر حسب لگاریتم سرعت روبش در شرایط ذکر شده در شکل ۴-۷ ۵۴
- شکل ۴-۱۱ نمودار پتانسیل بر حسب سرعت روبش در شرایط ذکر شده در شکل ۴-۷ ۵۵
- شکل ۴-۱۲ نمودار پتانسیل بر حسب سرعت روبش در شرایط ذکر شده در شکل ۴-۸ ۵۵
- شکل ۴-۱۳ نمودار جریان بر حسب سرعت‌های روبش بر اساس شرایط ذکر شده در شکل ۴-۷ ۵۸
- شکل ۴-۱۴ نمودار جریان بر حسب سرعت‌های روبش بر اساس شرایط ذکر شده در شکل ۴-۷ ۵۸
- شکل ۴-۱۵ ولتاموگرام‌های چرخه‌ای فورازولیدون در بافر برایتون-رابینسون 0.04 M و $\text{pH} = 7$ در سطح MWCNT-GCE در غلظت‌های (a) 0.1 ، (b) 0.2 ، (c) 0.3 ، (d) 0.5 ، (e) 0.6 ، (f) 0.7 ، (g) 0.8 ، (h) 0.9 mM ۶۰

شکل ۴-۱۶ ولتاموگرام‌های چرخه‌ای فورازولیدون در بافر برایتون- رابینسون 0.04 M و $\text{pH}=7$ در حضور $4\ \mu\text{g mL}^{-1}$ DNA در سطح MWCNT-GCE در غلظت‌های (a) 0.1 ، (b) 0.2 ، (c) 0.3 ، (d) 0.5 ، (e) 0.6 ، (f) 0.7 ، (g) 0.8 ، (h) 0.9 mM ۶۱

شکل ۴-۱۷ نمودارهای (a) جریان غلظت‌های مختلف فورازولیدون در سطح MWCNT-GCE، (b) جریان غلظت‌های مختلف فورازولیدون در حضور $4\ \mu\text{g mL}^{-1}$ DNA در سطح MWCNT-GCE، (c) اختلاف جریان برحسب غلظت‌های مختلف فورازولیدون در بافر برایتون- رابینسون 0.04 M و $\text{pH}=7$ ۶۱

شکل ۴-۱۸ نمودار $\log[\Delta I / (\Delta I_{\max} - \Delta I)]$ برحسب $\log([Fu] / M)$ بر اساس شرایط ذکر شده در شکل ۴-۱۷ ۶۲

شکل ۴-۱۹ طیف جذبی DNA $1.64 \times 10^{-5}\text{ M}$ در $\text{pH}=7$ ۶۳

شکل ۴-۲۰ طیف جذبی فورازولیدون و کمپلکس Fu-DNA در بافر برایتون- رابینسون (0.04 M و $\text{pH}=7$) منحنی (a) 10^{-4} M فورازولیدون، (b) $10^{-4}\text{ M DNA} + a$ ، (c) $2.60 \times 10^{-5}\text{ M DNA} + a$ ، (d) $6.10 \times 10^{-4}\text{ M DNA} + a$ ، (e) $9.10 \times 10^{-5}\text{ M DNA} + a$ ، (f) $1.18 \times 10^{-4}\text{ M DNA} + a$ ، (g) $1.42 \times 10^{-4}\text{ M DNA} + a$ ، (h) $1.64 \times 10^{-4}\text{ M DNA} + a$ ، (i) $1.83 \times 10^{-4}\text{ M DNA} + a$ ۶۴

شکل ۴-۲۱ ولتاموگرام‌های چرخه‌ای فورازولیدون 0.5 mM در بافر برایتون- رابینسون 0.04 M و $\text{pH}=7$ در حضور $4\ \mu\text{g mL}^{-1}$ DNA در سطح MWCNT-GCE همراه با حجم‌های مختلف MWCNT ($4\ \text{mg mL}^{-1}$) تثبیت شده در سطح الکتروود (a) ۱، (b) ۲، (c) ۳، (d) ۴، (e) ۵ μL ۶۶

شکل ۴-۲۲ نمودار جریان بر حسب حجم MWCNT ۶۶

شکل ۴-۲۳ ولتاموگرام‌های چرخه‌ای فورازولیدون 0.5 mM در بافر برایتون- رابینسون 0.04 M و $\text{pH}=7$ در حضور $4\ \mu\text{g mL}^{-1}$ DNA در سطح MWCNT-GCE همراه با غلظت‌های

مختلف MWCNT تثبیت شده در سطح الکتروود (a) ۲، (b) ۳، (c) ۴، (d) ۵، (e) ۶ mg mL^{-1} ۶۸

شکل ۴-۲۴ نمودار جریان بر حسب غلظت MWCNT ۶۸

شکل ۴-۲۵ ولتاموگرام‌های چرخه‌ای فورازولیدون 0.5 mM در بافر برایتون- رایینسون 0.04 M و $\text{pH}=7$ در غلظت‌های مختلف DNA (a) ۰، (b) 0.04 ، (c) 0.06 ، (d) 0.08 ، (e) 0.10 ، (f) 0.20 ، (g) 0.32 ، (h) 0.60 ، (i) 0.08 ، (j) 1.00 ، (k) 1.50 ، (l) $2.00 \mu\text{g mL}^{-1}$ با اعمال شرایط بهینه ۶۹

شکل ۴-۲۶ منحنی کالیبراسیون در محدوده غلظتی DNA $0.04-0.10 \mu\text{g mL}^{-1}$ ۷۱

شکل ۴-۲۷ منحنی کالیبراسیون در محدوده غلظتی DNA $0.10-1.00 \mu\text{g mL}^{-1}$ ۷۱

شکل ۴-۲۸ ولتاموگرام‌های چرخه‌ای فورازولیدون 0.5 mM در بافر برایتون- رایینسون 0.04 M و $\text{pH}=7$ در سطح MWCNT-GCE با ۸ بار تکرار ۷۲

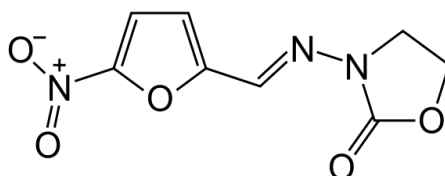
شکل ۴-۲۹ ولتاموگرام‌های چرخه‌ای فورازولیدون 0.5 mM در بافر برایتون- رایینسون 0.04 M و $\text{pH}=7$ در سطح MWCNT-GCE در حضور DNA $4 \mu\text{g mL}^{-1}$ با ۸ بار تکرار ۷۴

فصل اول

مقدمه

فصل ۱-۱ مقدمه

فورازولیدون دارای فرمول شیمیایی $C_8H_7N_3O_5$ با جرم مولکولی ۲۲۵/۱۶ گرم بر مول می-باشد (شکل ۱-۱).



شکل ۱-۱ ساختار مولکولی فورازولیدون

نیتروفوران‌ها اولین ترکیبات نیترو هتروسیکلی بودند که برای شیمی درمانی مورد استفاده قرار گرفتند. فورازولیدون از مشتقات نیتروفوران می‌باشد که گروه نیترو در محل پنجم حلقه فوران قرار دارد. فعالیت بیولوژیکی این دسته از داروها به دلیل کاهش گروه نیترو می‌باشد. فورازولیدون و دیگر مشتقات نیتروفوران برای بیشتر از سی سال در پزشکی به تنهایی و یا در ترکیب با داروهای دیگر جهت درمان بیماری‌های روده‌ای در حیوانات و انسان‌ها استفاده می‌شوند [۱-۲]. البته مهم‌ترین ویژگی دارویی ترکیبات نیترو آروماتیک خصلت ضد سرطانی و ضد باکتریایی آن‌ها می‌باشد [۳].

فورازولیدون در درمان اسهال ناشی از عوامل باکتریال و پروتوزوا، اسهال ناشی از ژiardیا، اسهال مسافرتی، سالمونلا و بیماری وبا به کار می‌رود. از این دارو نیز در دامپزشکی در درمان کوکسیدیوز در طیور یا درمان ماهیان یا به عنوان افزودنی در غذای حیوانات مانند گاو، خوک، مرغ، ماهی و میگو برای درمان بیماری‌های مرتبط به باکتری‌ها و پروتوزواها استفاده می‌شود [۴].

اشکال دارویی آن به صورت سوسپانسیون ۱۵ ml / ۵۰ mg و یا قرص ۱۰۰ mg می‌باشد. عوارض جانبی این دارو شامل تهوع، استفراغ، دل درد، خارش و ضایعات پوستی می‌باشد. چندین مورد منع مصرف فورازولیدون گزارش شده است از جمله: مصرف همزمان آن با غذاهای حاوی تیرآمین (باقلا،

پنیر غیر پاستوریزه، آبجو، جگر مرغ و محصولات تخمیر شده)، داروهای کاهنده اشتها، قرص سرماخوردگی و داروهای ضد سرفه زیرا ممکن است برای مدت قابل توجهی در بافت بدن باقی بماند. در طول مصرف این دارو از مصرف فرآورده‌های حاوی الکل باید خودداری کرد. همچنین مصرف این دارو در نوزادان زیر یک ماه از آن نظر که سیستم آنزیمی آن‌ها نارس است، توصیه نمی‌شود [۵].

برای شناسایی و تشخیص فورازولیدین به صورت خالص و یا به صورت محلول در آب از روش‌های کروماتوگرافی مایع [۶،۷]، کروماتوگرافی لایه نازک [۸]، اسپکتروسکوپی [۹]، کدرسنجی [۱۰] و پلاروگرافی [۱۱-۱۴] استفاده شده است.

مطالعه برهم‌کنش بین مولکول‌های کوچک و DNA حائز اهمیت می‌باشد. چون این برهم‌کنش‌ها اساس خواص درمانی سرطان‌زایی بسیاری از گونه‌های سرطان‌زا و داروهای ضد تومور و آنتی‌ویروسی می‌باشد [۱۵-۱۸].

از انواع مختلف برهم‌کنش DNA با دارو [۱۹-۲۱] می‌توان به موارد زیر اشاره کرد:

- ۱- جایگیری بین لایه‌ای
 - ۲- اتصال غیر کووالانسی از طریق شیارها
 - ۳- شکستن DNA
 - ۴- پیوند کووالانسی / اتصال عرضی
- تشکیل کمپلکس دارو-DNA باعث تغییر در ثبات ترمودینامیکی و خواص اصلی DNA می‌شود [۲۲]. برهم‌کنش بین دارو و DNA در تشخیص مولکولی هیبرید DNA، جهش‌ها و مکانیسم عمل برخی از داروها حائز اهمیت است.

اخيراً مطالعه کاربرد سنسورهای DNA در تشخیص‌های بالینی، قانونی و کاربردهای پزشکی توجه محققان را به خود جلب کرده است [۲۳]. البته بیشترین کاربرد بیوسنسورهای DNA، تشخیص گونه‌های شیمیایی مانند عوامل سرطان زا، داروها، آلاینده‌ها و آنزیم‌ها می‌باشد. آنالیت‌های الکترواکتیو به‌طور مستقیم با روش ولتامتری تعیین می‌شوند [۲۴]. درحالی‌که ترکیبات غیر الکترواکتیو می‌توانند از طریق تغییر در سیگنال الکتروشیمیایی واکنش‌های اکسایش و کاهش DNA تعیین شوند [۲۵،۲۶].

به‌طور کلی DNA به دلیل ویژگی‌های شیمیایی و بیولوژیکی‌اش منجر به کشف کدهای ژنی و توالی ژنوم بشر شده است و یکی از نتایج بسیار مهم شناسایی توالی ژنوم بشر، تشخیص جهش‌های نقطه‌ای و ارتباط شان با پاتولوژی نظیر سرطان می‌باشد [۲۷].

مهم‌ترین مزایای بیوسنسورهای الکتروشیمیایی DNA قیمت پایین، پاسخ سریع، ابعاد کوچک، قابل حمل بودن، حساسیت بالا و غیر وابسته به کدورت نمونه می‌باشد [۲۸،۲۹].

فصل دوم

بررسی منابع